

使得

$$\int_{-\pi}^{\pi} |f(x) - \psi_n(x)| dx < \epsilon.$$

§ 4 Fourier 变换和 Fourier 积分

Fourier 变换及其逆变换

以上关于 Fourier 级数的论述都是对周期函数而言的, 那么对于不具备周期性的函数, 又该如何处理呢?

在 $(-\infty, +\infty)$ 上可积的非周期函数 $f(x)$ 可以看成是周期函数的极限情况, 处理思路是这样的:

- (1) 先取 $f(x)$ 在 $[-T, T]$ 上的部分(即把它视为仅定义在 $[-T, T]$ 上的函数), 再以 $2T$ 为周期, 将它延拓为 $(-\infty, +\infty)$ 上的周期函数 $f_T(x)$;
- (2) 对得到的周期函数 $f_T(x)$ 作 Fourier 展开;
- (3) 令 T 趋于无穷大。

下面来导出具体过程。将 Euler 公式

$$\cos \theta = \frac{e^{i\theta} + e^{-i\theta}}{2}, \quad \sin \theta = \frac{e^{i\theta} - e^{-i\theta}}{2i} = -\frac{i}{2}(e^{i\theta} - e^{-i\theta})$$

代入周期为 $2T$ 的函数 $f_T(x)$ 的 Fourier 级数, 记 $\frac{\pi}{T}$ 是圆频率(下面就简称为频

率), $\omega_n = \frac{n\pi}{T}$, 得到

$$\begin{aligned} f_T(x) &\sim \frac{a_0}{2} + \sum_{n=1}^{\infty} (a_n \cos \omega_n x + b_n \sin \omega_n x) \\ &= \frac{a_0}{2} + \sum_{n=1}^{\infty} \left(\frac{a_n - ib_n}{2} e^{i\omega_n x} + \frac{a_n + ib_n}{2} e^{-i\omega_n x} \right). \end{aligned}$$

记

$$\begin{aligned} c_0 &= a_0, \\ c_n &= a_n - ib_n = \frac{1}{T} \int_{-T}^T f_T(t) e^{-i\omega_n t} dt \quad (n = 1, 2, \dots), \\ c_{-n} &= a_n + ib_n = \bar{c}_n, \end{aligned}$$

则得到

$$f_T(x) \sim \frac{c_0}{2} + \frac{1}{2} \sum_{n=1}^{+\infty} (c_n e^{i\omega_n x} + c_{-n} e^{-i\omega_n x}) = \frac{1}{2} \sum_{n=-\infty}^{+\infty} c_n e^{i\omega_n x},$$

这称为 Fourier 级数的复数形式。将 c_n 的表达式代入, 即有

$$f_T(x) \sim \frac{1}{2T} \sum_{n=-\infty}^{+\infty} \left[\int_{-T}^T f_T(t) e^{-i\omega_n t} dt \right] e^{i\omega_n x}.$$

记 $\Delta\omega = \omega_n - \omega_{n-1} = \frac{\pi}{T}$, 于是当 $T \rightarrow +\infty$ 时 $\Delta\omega \rightarrow 0$, 即得到

$$f(x) = \lim_{T \rightarrow +\infty} f_T(x) \sim \lim_{\Delta\omega \rightarrow 0} \frac{1}{2\pi} \sum_{n=-\infty}^{+\infty} \left[\int_{-T}^T f_T(t) e^{-i\omega_n t} dt \right] e^{i\omega_n x} \Delta\omega.$$

记 $\varphi_T(\omega) = \frac{1}{2\pi} \int_{-T}^T f_T(t) e^{-i\omega t} dt e^{i\omega x}$, 则上式可写成

$$f(x) \sim \lim_{\Delta\omega \rightarrow 0} \sum_{n=-\infty}^{+\infty} \varphi_T(\omega_n) \Delta\omega,$$

它看上去很像 Riemann 和的极限形式, 不过由于 $\Delta\omega \rightarrow 0$ 时函数 $\varphi_T(\omega)$ 将随之趋于 $\varphi(\omega) = \frac{1}{2\pi} \int_{-\infty}^{+\infty} f(t) e^{-i\omega t} dt e^{i\omega x}$, 因此这并非真正的 Riemann 和。但是, 我们暂且不理会这些, 就将它看成 $\varphi(\omega)$ 在 $(-\infty, +\infty)$ 上的“积分”, 于是(形式上)有

$$f(x) \sim \frac{1}{2\pi} \int_{-\infty}^{+\infty} \left[\int_{-\infty}^{+\infty} f(t) e^{-i\omega t} dt \right] e^{i\omega x} d\omega.$$

我们称方括号中的函数

$$\hat{f}(\omega) = \int_{-\infty}^{+\infty} f(x) e^{-i\omega x} dx \quad (\omega \in (-\infty, +\infty))$$

为 f 的 Fourier 变换(或像函数), 记为 $F[f]$, 即

$$F[f](\omega) = \hat{f}(\omega) = \int_{-\infty}^{+\infty} f(x) e^{-i\omega x} dx,$$

而称函数

$$\frac{1}{2\pi} \int_{-\infty}^{+\infty} \hat{f}(\omega) e^{i\omega x} d\omega \quad (x \in (-\infty, +\infty))$$

为 \hat{f} 的 Fourier 逆变换(或像原函数), 记为 $F^{-1}[\hat{f}]$, 即

$$F^{-1}[\hat{f}](x) = \frac{1}{2\pi} \int_{-\infty}^{+\infty} \hat{f}(\omega) e^{i\omega x} d\omega.$$

注意这里假设了像函数与像原函数的存在性。

我们称函数

$$\frac{1}{2\pi} \int_{-\infty}^{+\infty} \left[\int_{-\infty}^{+\infty} f(t) e^{-i\omega t} dt \right] e^{i\omega x} d\omega = \frac{1}{2\pi} \int_{-\infty}^{+\infty} d\omega \int_{-\infty}^{+\infty} f(t) e^{i\omega(x-t)} dt$$

为 f 的 Fourier 积分。容易想到, 在一定条件下, 它应与 $f(x)$ 相等, 但研究这些条件已超出本课程的要求, 我们不加证明地给出以下充分条件。

定理 16.4.1 设函数 f 在 $(-\infty, +\infty)$ 上绝对可积, 且在 $(-\infty, +\infty)$ 中的任何闭区间上分段可导。则 f 的 Fourier 积分满足: 对于任意 $x \in (-\infty, +\infty)$ 成立

$$\frac{1}{2\pi} \int_{-\infty}^{+\infty} d\omega \int_{-\infty}^{+\infty} f(t) e^{i\omega(x-t)} dt = \frac{f(x+) + f(x-)}{2}.$$

所谓在闭区间上分段可导是如下定义的：

定义 16.4.1 设函数 f 在 $[a, b]$ 上除有限个点

$$a = x_0 < x_1 < x_2 < \cdots < x_N = b$$

外均可导,而在 x_i ($i = 0, 1, 2, \dots, N$) 处 f 的左右极限 $f(x_i-)$ 和 $f(x_i+)$ 都存在(在 $x_0 = a$ 只要求右极限存在,在 $x_N = b$ 只要求左极限存在),并且极限

$$\lim_{h \rightarrow 0^-} \frac{f(x_i + h) - f(x_i-)}{h}$$

和

$$\lim_{h \rightarrow 0^+} \frac{f(x_i + h) - f(x_i+)}{h}$$

都存在(在 $x_0 = a$ 只要求上述第二个极限存在,在 $x_N = b$ 只要求上述第一个极限存在),那么称 f 在 $[a, b]$ 上分段可导。

注意,若 x 是 f 的连续点,定理 16.4.1 已蕴含了

$$\frac{1}{2\pi} \int_{-\infty}^{+\infty} d\omega \int_{-\infty}^{+\infty} f(t) e^{i\omega(x-t)} dt = f(x).$$

请读者将定理 16.4.1 的条件和结论与关于 Fourier 级数的相应定理比较一下。

例 16.4.1 求孤立矩形波

$$f(x) = \begin{cases} h, & |x| \leq \delta, \\ 0, & |x| > \delta \end{cases}$$

(图 16.4.1) 的 Fourier 变换 $\hat{f}(\omega)$ 和 $\hat{f}(\omega)$ 的 Fourier 逆变换。

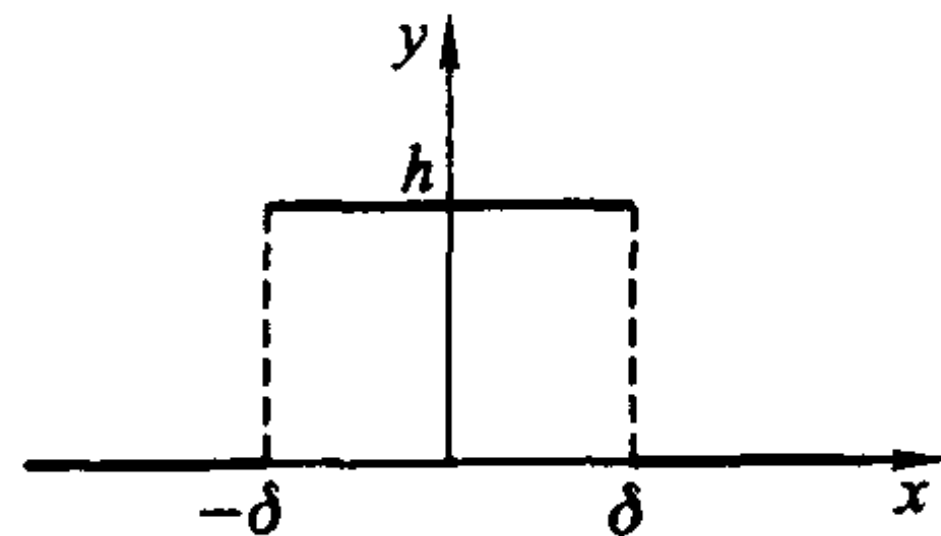


图 16.4.1

解 当 $\omega \neq 0$ 时,

$$\begin{aligned} \hat{f}(\omega) &= \int_{-\infty}^{+\infty} f(x) e^{-i\omega x} dx = h \int_{-\delta}^{\delta} e^{-i\omega x} dx \\ &= h \left. \frac{e^{-i\omega x}}{-i\omega} \right|_{-\delta}^{\delta} = \frac{2h}{\omega} \sin(\omega\delta), \end{aligned}$$

当 $\omega = 0$ 时

$$\hat{f}(0) = \int_{-\infty}^{+\infty} f(x) dx = 2h\delta (= \lim_{\omega \rightarrow 0} \hat{f}(\omega))。$$

而利用熟知的结果 $\int_0^{+\infty} \frac{\sin ax}{x} dx = \operatorname{sgn}(a) \frac{\pi}{2}$, 可以求得 \hat{f} 的逆变换为

$$\begin{aligned} F^{-1}[\hat{f}] &= \frac{1}{2\pi} \int_{-\infty}^{+\infty} \hat{f}(\omega) e^{i\omega x} d\omega = \frac{h}{\pi} \int_{-\infty}^{+\infty} \frac{\sin(\omega\delta)}{\omega} e^{i\omega x} d\omega \\ &= \frac{2h}{\pi} \int_0^{+\infty} \frac{\sin(\omega\delta)}{\omega} \cos(\omega x) d\omega = \begin{cases} h, & |x| < \delta, \\ \frac{h}{2}, & x = \pm \delta, \\ 0, & |x| > \delta. \end{cases} \end{aligned}$$

设 $f(x)$ 在 $(-\infty, +\infty)$ 上连续, 且满足定理 16.4.1 的条件, 则将 f 的 Fourier 积分的实部和虚部分开, 得到

$$f(x) = \frac{1}{2\pi} \int_{-\infty}^{+\infty} d\omega \int_{-\infty}^{+\infty} f(t) \cos \omega(x-t) dt + \frac{i}{2\pi} \int_{-\infty}^{+\infty} d\omega \int_{-\infty}^{+\infty} f(t) \sin \omega(x-t) dt,$$

因为

$$g_s(\omega) \stackrel{\text{def}}{=} \int_{-\infty}^{+\infty} f(t) \sin \omega(x-t) dt$$

是奇函数(其中符号“ $\stackrel{\text{def}}{=}$ ”表示“定义为”), 而

$$g_c(\omega) \stackrel{\text{def}}{=} \int_{-\infty}^{+\infty} f(t) \cos \omega(x-t) dt$$

是偶函数, 由此得到 $f(x)$ 的 Fourier 积分的三角形式(也称为实形式)

$$f(x) = \frac{1}{\pi} \int_0^{+\infty} d\omega \int_{-\infty}^{+\infty} f(t) \cos \omega(x-t) dt.$$

当 $f(x)$ 本身是偶函数时, 上式又可化成

$$f(x) = \frac{2}{\pi} \int_0^{+\infty} \left[\int_0^{+\infty} f(t) \cos \omega t dt \right] \cos \omega x d\omega,$$

它可以看成是由 Fourier 余弦变换

$$F_c[f] = \hat{f}_c(\omega) = \int_0^{+\infty} f(x) \cos \omega x dx$$

及其逆变换

$$F_c^{-1}[\hat{f}_c] = \frac{2}{\pi} \int_0^{+\infty} \hat{f}_c(\omega) \cos \omega x d\omega$$

复合而成的。

当 $f(x)$ 本身是奇函数时, 可以类似地得到

$$f(x) = \frac{2}{\pi} \int_0^{+\infty} \left[\int_0^{+\infty} f(t) \sin \omega t dt \right] \sin \omega x d\omega,$$

它可以看成是由 Fourier 正弦变换

$$F_s[f] = \hat{f}_s(\omega) = \int_0^{+\infty} f(x) \sin \omega x dx$$

及其逆变换

$$F_s^{-1}[\hat{f}_s] = \frac{2}{\pi} \int_0^{+\infty} \hat{f}_s(\omega) \sin \omega x d\omega$$

复合而成的。

例 16.4.2 求 $f(x) = e^{-x} \sin x$ ($x \in [0, +\infty)$) 的余弦变换。

解 由 Fourier 余弦变换公式得

$$\begin{aligned} & \int_0^{+\infty} e^{-x} \sin x \cos \omega x dx \\ &= \frac{1}{2} \int_0^{+\infty} e^{-x} [\sin(1+\omega)x + \sin(1-\omega)x] dx \\ &= \frac{1}{2} \left\{ \frac{e^{-x} [\sin(1+\omega)x + (1+\omega)\cos(1+\omega)x]}{1+(1+\omega)^2} - \right. \\ & \quad \left. \frac{e^{-x} [\sin(1-\omega)x + (1-\omega)\cos(1-\omega)x]}{1+(1-\omega)^2} \right\} \Big|_0^{+\infty} \\ &= \frac{1}{2} \left\{ \frac{1+\omega}{1+(1+\omega)^2} + \frac{1-\omega}{1+(1-\omega)^2} \right\} = \frac{2-\omega}{4+\omega^4}. \end{aligned}$$

Fourier 变换的性质

Fourier 变换和 Fourier 逆变换的下列性质对于理论分析和实际计算都很有用。

(1) 线性性质

设 c_1, c_2 是常数。若 f, g 的 Fourier 变换存在, 则

$$F[c_1 f + c_2 g] = c_1 F[f] + c_2 F[g];$$

若 $\hat{f} = F[f], \hat{g} = F[g]$ 的 Fourier 逆变换存在, 则

$$F^{-1}[c_1 \hat{f} + c_2 \hat{g}] = c_1 F^{-1}[\hat{f}] + c_2 F^{-1}[\hat{g}].$$

证明请读者自行完成。

(2) 位移性质

若函数 f 的 Fourier 变换存在, 则

$$F[f(x \pm x_0)](\omega) = F[f](\omega) e^{\pm i\omega x_0};$$

若 $\hat{f} = F[f]$ 的 Fourier 逆变换存在, 则

$$F^{-1}[\hat{f}(\omega \pm \omega_0)](x) = F^{-1}[\hat{f}](x) e^{\mp i\omega_0 x}.$$

注 以上两式常简记为

$$F[f(x \pm x_0)] = F[f] e^{\pm i\omega x_0};$$

$$F^{-1}[\hat{f}(\omega \pm \omega_0)] = F^{-1}[\hat{f}]e^{\mp i\omega_0 x}.$$

今后类似的情况也用此种记号, 而不再一一明确指出变换的函数取值。

证

$$\begin{aligned} F[f(x \pm x_0)](\omega) &= \int_{-\infty}^{+\infty} f(x \pm x_0) e^{-i\omega x} dx \\ &= \int_{-\infty}^{+\infty} f(u) e^{-i\omega(u \mp x_0)} du = e^{\pm i\omega x_0} \int_{-\infty}^{+\infty} f(u) e^{-i\omega u} du \\ &= e^{\pm i\omega x_0} F[f](\omega). \end{aligned}$$

另一部分的证明留给读者自行完成。

证毕

(3) Fourier 变换还有如下性质:

时间尺度性 $F[f(ax)] = \frac{1}{|a|} \hat{f}\left(\frac{\omega}{a}\right);$

频率尺度性 $F\left[\frac{1}{a}f\left(\frac{x}{a}\right)\right] = \hat{f}(a\omega).$

证明从略。

(4) 微分性质

1) 设函数 $f(x)$ 在 $(-\infty, +\infty)$ 上有连续的导数, 且 $f(x)$ 与 $f'(x)$ 在 $(-\infty, +\infty)$ 上绝对可积, 若 $\lim_{x \rightarrow \infty} f(x) = 0$, 则有

$$F[f'] = i\omega \cdot F[f];$$

2) 若 $f(x)$ 和 $xf(x)$ 在 $(-\infty, +\infty)$ 上绝对可积, 则

$$F[-ix \cdot f] = (F[f])'.$$

证 1) 由分部积分公式得

$$\begin{aligned} F[f'](\omega) &= \int_{-\infty}^{+\infty} f'(x) e^{-i\omega x} dx \\ &= f(x) e^{-i\omega x} \Big|_{-\infty}^{+\infty} + i\omega \int_{-\infty}^{+\infty} f(x) e^{-i\omega x} dx \\ &= i\omega \cdot F[f](\omega). \end{aligned}$$

$$\begin{aligned} 2) F[-ix \cdot f](\omega) &= \int_{-\infty}^{+\infty} (-ixf(x)) e^{-i\omega x} dx \\ &= \int_{-\infty}^{+\infty} \frac{d}{d\omega} (f(x) e^{-i\omega x}) dx = \frac{d}{d\omega} \int_{-\infty}^{+\infty} f(x) e^{-i\omega x} dx = \frac{d}{d\omega} [F(f)](\omega). \end{aligned}$$

注意: 这里的求导运算与积分运算交换了次序, 其理由请读者自行说明。

证毕

(5) 积分性质

设函数 $f(x)$ 和 $\int_{-\infty}^x f(t) dt$ 在 $(-\infty, +\infty)$ 上绝对可积, 则

$$F\left[\int_{-\infty}^x f(t)dt\right] = \frac{1}{i\omega}F[f]。$$

证 因为

$$\frac{d}{dx} \int_{-\infty}^x f(t)dt = f(x),$$

且由 $\int_{-\infty}^x f(t)dt$ 和 $f(x)$ 在 $(-\infty, +\infty)$ 上的绝对可积性, 易知 $\lim_{x \rightarrow \infty} \int_{-\infty}^x f(t)dt = 0$, 所以由 Fourier 变换的微分性质得

$$F[f](\omega) = F\left[\frac{d}{dx} \int_{-\infty}^x f(t)dt\right](\omega) = i\omega F\left[\int_{-\infty}^x f(t)dt\right](\omega),$$

即

$$F\left[\int_{-\infty}^x f(t)dt\right](\omega) = \frac{1}{i\omega}F[f](\omega)。$$

证毕

卷积

现在引入卷积的概念。

定义 16.4.2 设函数 f 和 g 在 $(-\infty, +\infty)$ 上定义, 且积分

$$(f * g)(x) = \int_{-\infty}^{+\infty} f(t)g(x-t)dt$$

存在, 则称函数 $f * g$ 为 f 和 g 的卷积。

显然, 卷积具有对称性, 即 $f * g = g * f$ 。

建立以下两个定理需要更广泛意义下的积分理论, 但由于其重要性, 我们仍写出其结论。

定理 16.4.2(卷积的 Fourier 变换) 设函数 f 和 g 在 $(-\infty, +\infty)$ 上绝对可积, 则有

$$F[f * g] = F[f] \cdot F[g]。$$

定理 16.4.3(Parseval 等式) 设函数 f 在 $(-\infty, +\infty)$ 上绝对可积, 且 $\int_{-\infty}^{+\infty} [f(x)]^2 dx$ 收敛。记 f 的 Fourier 变换为 \hat{f} , 则

$$\int_{-\infty}^{+\infty} [f(x)]^2 dx = \frac{1}{2\pi} \int_{-\infty}^{+\infty} |\hat{f}(\omega)|^2 d\omega。$$

今后学习其他课程(如偏微分方程、控制理论、计算方法等)时会知道, 以上的性质和定理非常重要。下面举一个简单例子。

例 16.4.3 求解微分方程

$$u''(x) - a^2 u(x) + 2af(x) = 0 \quad (a > 0 \text{ 为常数}, x \in (-\infty, +\infty))。$$

解 由 Fourier 变换的微分性质得

$$F[u''] = i\omega F[u'] = -\omega^2 F[u]。$$

对方程两边作 Fourier 变换, 整理后即有

$$F[u] = \frac{2a}{a^2 + \omega^2} F[f]。$$

利用本节习题 1(2) 的结果 $F[e^{-a|x|}] = \frac{2a}{a^2 + \omega^2}$ ($a > 0$) 和定理 16.4.2 的结论, 得到

$$\begin{aligned} u(x) &= F^{-1}\left[\frac{2a}{a^2 + \omega^2} \cdot F[f]\right] = F^{-1}\left[\frac{2a}{a^2 + \omega^2}\right] * F^{-1}[F[f]] \\ &= f * e^{-a|x|} = \int_{-\infty}^{+\infty} f(t) e^{-a|x-t|} dt。 \end{aligned}$$

注 在这个例题中我们假设了 $f(x)$ 和 $u(x)$ 满足使运算过程成立的一切条件。下面我们指出几点:

1. Fourier 积分的三角形式

$$f(x) = \frac{1}{\pi} \int_0^{+\infty} d\omega \int_{-\infty}^{+\infty} f(t) \cos \omega(x-t) dt$$

本可以由实数形式的 Fourier 级数按上述思想直接导出, 这里之所以舍近求远, 先化成复数形式再兜回来, 是因为复数形式的 Fourier 级数和 Fourier 积分具有重要的实际应用价值。在许多领域, 如热学、声学、光学、电工学、核物理学等等, 都需要对复函数的频率 $\omega_n = \frac{n\pi}{T}$ 和振幅 $|c_n| = \sqrt{a_n^2 + b_n^2}$ 进行计算、分析(称为频谱分析)、叠加、滤波等处理, 因而复数表达形式对于简化处理过程有着独到的优越性。

2. 周期函数实际上就是频率为 $\omega = \frac{\pi}{T}$ 的振荡函数。Fourier 级数

$$f(x) \sim \frac{a_0}{2} + \sum_{n=1}^{\infty} (a_n \cos n\omega x + b_n \sin n\omega x) = \frac{1}{2} \sum_{n=-\infty}^{+\infty} c_n e^{inx}$$

揭示了 $f(x)$ 可以通过频率为 ω (称为基频) 的正弦波 $\sin \omega x$ 和余弦波 $\cos \omega x$ (称为基波) 及其 n 次谐波 $\sin n\omega x, \cos n\omega x$ 叠加来得到, 而谐频为 $n\omega$ 的谐波的振幅

$$\sqrt{a_n^2 + b_n^2} = |c_n| = \frac{1}{T} \left| \int_{-T}^T f(x) e^{-inx} dx \right|$$

不妨理解成该谐波在整体中的强度。

对于非周期函数, 即 $T \rightarrow +\infty$ 的情况, 这时基频 $\omega \rightarrow 0$, 因此谐频由离散的 $|n\omega|$ 趋向于布满整个实数轴, 或者可以说, 此时任何一个实数(仍记为 ω)都是它的“谐频”。因此, Fourier 逆变换

$$f(x) \sim \frac{1}{2\pi} \int_{-\infty}^{+\infty} \hat{f}(\omega) e^{i\omega x} d\omega = \frac{1}{2} \int_{-\infty}^{+\infty} \frac{\hat{f}(\omega)}{\pi} e^{i\omega x} d\omega$$

同样表示 $f(x)$ 可由频率为 ω 的“谐波”叠加而成, $\frac{|\hat{f}(\omega)|}{\pi}$ 也应是相应的振幅。

而换一个角度,从 Fourier 变换的定义来看,由于

$$\frac{|\hat{f}(\omega)|}{\pi} = \frac{1}{\pi} \left| \int_{-\infty}^{+\infty} f(x) e^{-i\omega x} dx \right| = \lim_{T \rightarrow +\infty} \frac{\frac{1}{T} \left| \int_{-T}^T f(x) e^{-i\omega x} dx \right|}{\Delta\omega},$$

与 $|c_n|$ 的表达式比较,说明它确实能看成相应于频率 ω 的谐波在整体中的某种“强度”,与上面的结论相吻合(请读者思考,这里用 $\Delta\omega$ 除一下的用意何在)。

上面的解释有助于理解 Fourier 变换的物理意义。

习 题

1. 求下列定义在 $(-\infty, +\infty)$ 的函数的 Fourier 变换:

$$(1) f(x) = \begin{cases} A, & 0 < x < \delta, \\ 0, & \text{其他;} \end{cases} \quad (2) f(x) = e^{-a|x|}, a > 0;$$

$$(3) f(x) = e^{-ax^2}, \quad a > 0; \quad (4) f(x) = \begin{cases} e^{-2x}, & x \geq 0, \\ 0, & x < 0; \end{cases}$$

$$(5) f(x) = \begin{cases} A \cos \omega_0 x, & |x| \leq \delta, \\ 0, & |x| > \delta; \end{cases} \quad \omega_0 \neq 0 \text{ 是常数, } \delta = \frac{\pi}{\omega_0}.$$

2. 求 $f(x) = e^{-ax}$ ($x \in [0, +\infty)$, $a > 0$) 的正弦变换和余弦变换。

$$3. \text{ 设 } f_1(x) = \begin{cases} e^{-x}, & x \geq 0, \\ 0, & x < 0, \end{cases} \quad f_2(x) = \begin{cases} \sin x, & 0 \leq x \leq \frac{\pi}{2}, \\ 0, & \text{其他,} \end{cases} \text{ 求 } f_1 * f_2(x).$$

§ 5 快速 Fourier 变换

离散 Fourier 变换

人们刚开始利用无线电技术传输信号时,是将连续信号进行某种调制处理后直接传送的(图 16.5.1),本质上传送的还是连续信号(也叫模拟信号)。这样的传输方式抗干扰能力差,失真严重,尤其是经过长距离传送或多次传递后,信号可能面目全非,质量自然难尽人意。

以后发展了离散的传输方法,它不是传送连续信号本身,而是每隔一段时间 Δt ,从信号中提取一个数值脉冲(称为数值抽样),将连续信号转化成数据序列

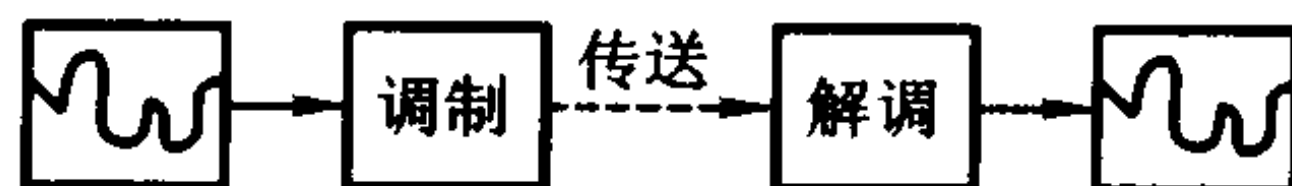


图 16.5.1

$x(0), x(1), x(2), \dots, x(N-1)$ (图 16.5.2), 再经编码后发送。只要抽取的时间间隔足够小, 这列数据就能很好地反映原信号, 接收方通过逆向处理, 可以复原出所传递的信号(图 16.5.3)。这种方法称为数字信号传输, 具有抗干扰能力强、信号还原质量高、易于加密和解密等优点, 问世后便受到广泛的重视, 至今方兴未艾。

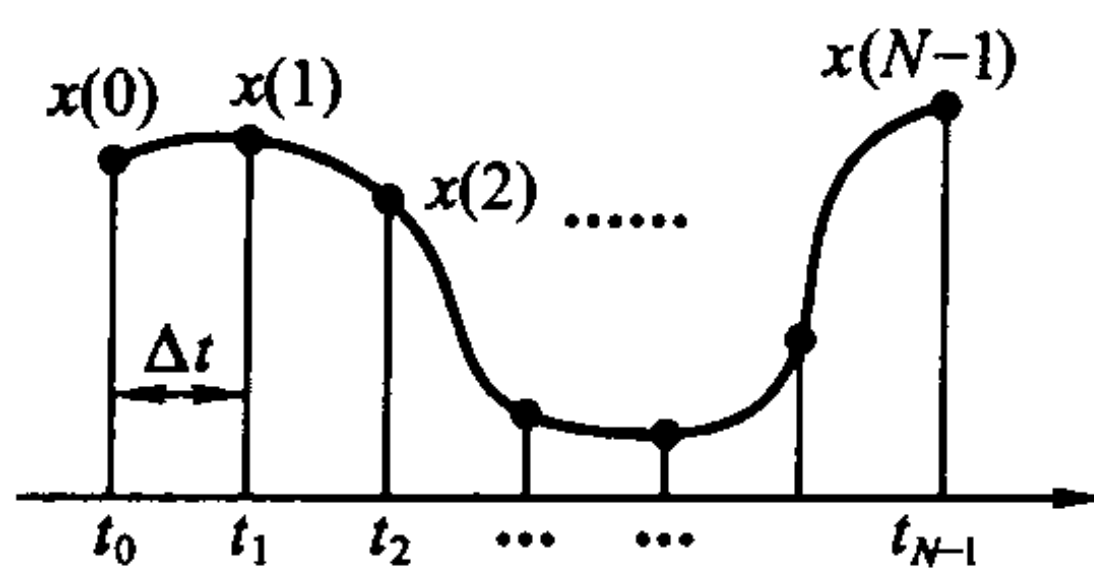


图 16.5.2



图 16.5.3

可以想见的是, 为了保证接收的质量, Δt 必须取得很小, 即 N 非常之大。因此, 直接发送这列数据将会长时间地占用传输设备和线路, 这不但需要支付昂贵的费用, 在情况紧急时甚至会误事。

所以, 在抽样之后需要对数据序列 $x(0), x(1), \dots, x(N-1)$ 进行简化和压缩, 但由于序列中数据的大小是散乱的, 因此一方面我们不能随意舍弃某些数据, 另一方面压缩的效果也比较差。

后来经研究发现, 若对数据序列 $x(0), x(1), \dots, x(N-1)$ 施以如下的离散 Fourier 变换

$$X(j) = \sum_{n=0}^{N-1} x(n) e^{-2\pi i \frac{nj}{N}} \quad (j = 0, 1, 2, \dots, N-1, i = \sqrt{-1})$$

就可以有效地解决上面的问题。(之所以称它为“离散 Fourier 变换”, 在于它可以看成是 Fourier 变换 $\hat{f}(\omega) = \int_{-\infty}^{+\infty} f(x) e^{-i\omega x} dx$ 的一种离散的近似形式的推广,

见习题 1。)

利用正交关系式

$$\frac{1}{N} \sum_{n=0}^{N-1} e^{-2\pi i \frac{nj}{N}} e^{2\pi i \frac{nk}{N}} = \delta_{j,k} = \begin{cases} 1, & j = k, \\ 0, & j \neq k \end{cases}$$

(请读者自证), 可以导出离散 Fourier 逆变换

$$x(k) = \frac{1}{N} \sum_{j=0}^{N-1} X(j) e^{2\pi i \frac{jk}{N}}, \quad k = 0, 1, 2, \dots, N-1,$$

这是因为

$$\begin{aligned} \frac{1}{N} \sum_{j=0}^{N-1} X(j) e^{2\pi i \frac{jk}{N}} &= \frac{1}{N} \sum_{j=0}^{N-1} \sum_{n=0}^{N-1} x(n) e^{-2\pi i \frac{nj}{N}} e^{2\pi i \frac{jk}{N}} \\ &= \sum_{n=0}^{N-1} x(n) \left[\frac{1}{N} \sum_{j=0}^{N-1} e^{-2\pi i \frac{nj}{N}} e^{2\pi i \frac{jk}{N}} \right] \\ &= \sum_{n=0}^{N-1} x(n) \delta_{n,k} = x(k). \end{aligned}$$

也就是说, 若发送方将 $x(0), x(1), \dots, x(N-1)$ 作了离散 Fourier 变换后传输出去, 接收方可以对收到的数据进行离散 Fourier 逆变换, 再现原始信号。

从表面看来, 这么做似乎毫无必要, 因为变换后的数据长度仍是 N , 并没有缩短, 况且还要额外支出两次变换的代价。其实不然。

从变换公式容易看出, 变换后的序列中的每个 $X(j)$, 都包含了原序列中所有信号的信息。因此, 即使丢失了某些 $X(j)$, 仍可望由其余数据基本正确地还原出原始数据。这当然使得传输过程的抗干扰能力进一步提高, 但更重要的是, 这可以让我们通过有意剔除某些模较小的数据(通常这类数据数量很大)而使需传输的序列大为缩短。此外, $X(0), X(1), \dots, X(N-1)$ 的排列将很有规律, 模较大的数据往往集中在序列中一两个较窄的范围内, 易于作高效的压缩处理。

例 16.5.1 对长度为 64 的序列 $\{x(k)\}$ 做离散 Fourier 变换, 其取值如图 16.5.4(a) 中的“+”所示, 变换后的 $X(j)$ 的模用“o”表示(为了看得清楚, 已做了适当比例的压缩)。

从图中可以看到, $\{x(k)\}$ 的变化很大, 有高低不同的四个起伏。但做了 Fourier 变换后, $\{|X(j)|\}$ 只是在序列的起首和终止处附近有两个高的起伏, 而处于序列中部的数据, 其模的波动范围是不大的。也就是说, $\{X(j)\}$ 排列确实很有规律, 易于作进一步的处理。

此外, 我们还发现, $\{X(j)\}$ 中约有三分之一的点(虚线以下)的模接近于零。现在我们将这些点全部强行置为零后, 再对整个序列进行 Fourier 逆变换, 这相当在序列中删除了这些数据后再传输出去, 让对方仅用剩下的那部分模较大数据进行逆变换。图 16.5.4(b) 显示了所得的结果, 这里 $\{x(k)\}$ 仍用“+”表示, 逆变换后得到的相应值用“o”表示, 我们发现, 除了极个别点误差稍大之外, 两

者的吻合程度是相当令人满意的。

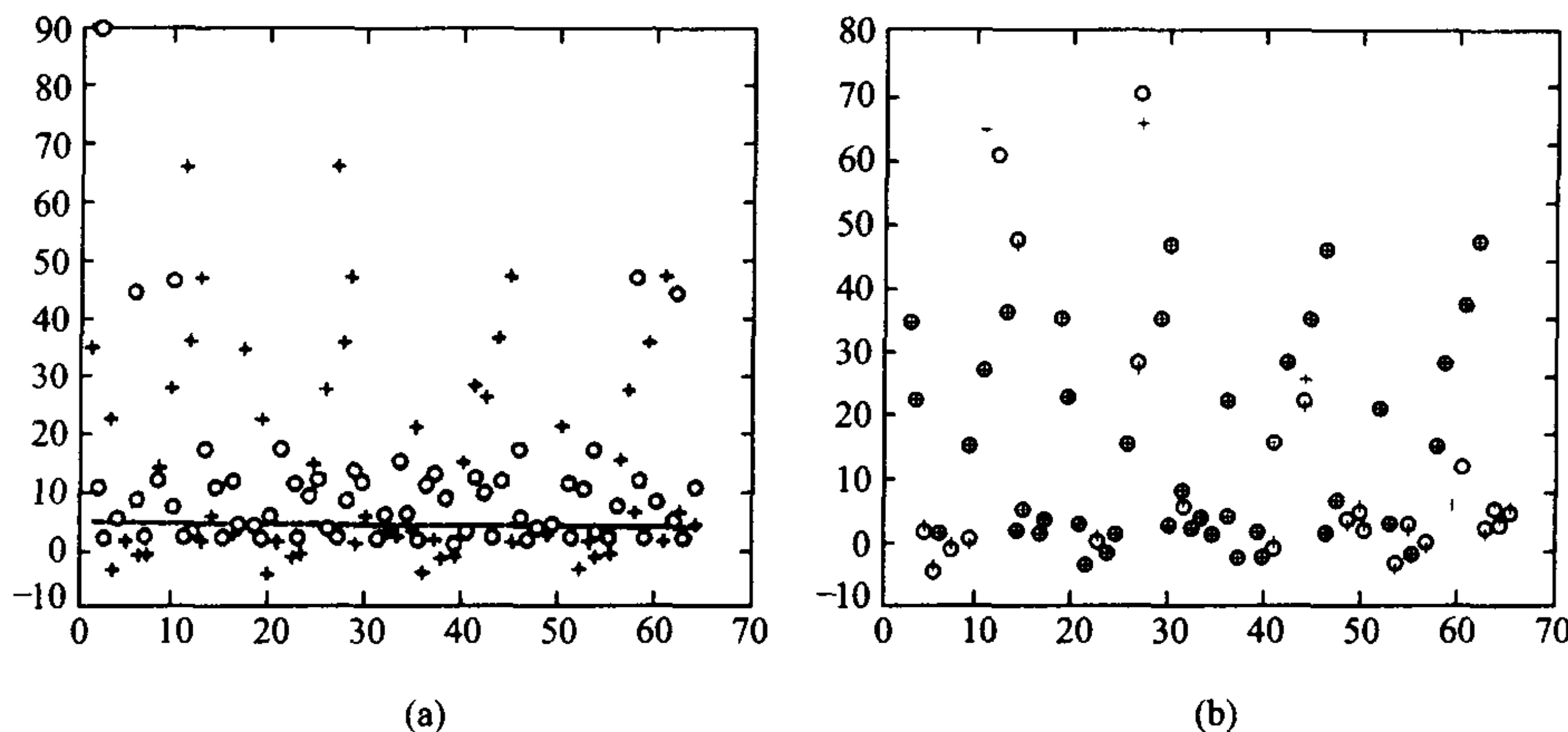


图 16.5.4

快速 Fourier 变换

尽管早就发现离散 Fourier 变换有如此诱人的好处,但在一个相当长的时期中,人们对它基本上只限于纸上谈兵。这是因为,做一次变换需要进行 N^2 次复数乘法和 $N(N-1)$ 次复数加法,实际使用中的 N 总是极为巨大的,相应的高昂代价令人望而却步。

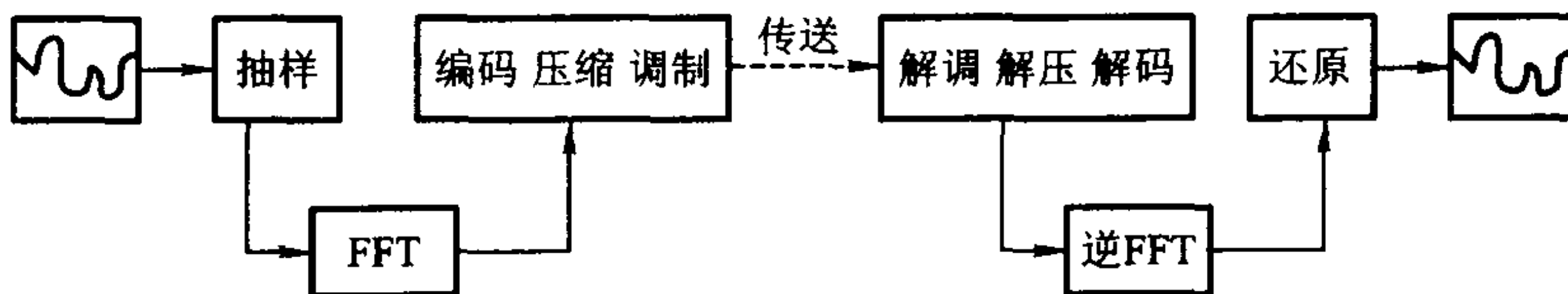


图 16.5.5

一直到 20 世纪 60 年代中期,Cooley 和 Tukey 发现了计算离散 Fourier 变换的高效(同时又特别适合于计算机硬件操作)的方法——**快速 Fourier 变换**(简称 FFT—Fast Fourier Transform)之后,它才真正获得了生命力。可以毫不夸张地说,基于 FFT 的离散 Fourier 变换技术,是当今信息传输(图 16.5.5)、频谱分析、图像处理、数据压缩等领域中最重要的数学工具之一。目前,国际上任何一个综合的数学软件中,必定含有 FFT 的计算程序。

下面对 FFT 的思想作一简单介绍(由于逆 FFT 的形式与 FFT 完全相同,因此所有的方法和结论都可以平行地用到逆 FFT 上去)。

设 $N = 2m$, 将 j 和 n 分别改写成

$$j = mj_1 + j_0, \quad \begin{cases} j_0 = 0, 1, \dots, m-1, \\ j_1 = 0, 1 \end{cases}$$

和

$$n = 2n_1 + n_0, \begin{cases} n_0 = 0, 1, \\ n_1 = 0, 1, \dots, m-1, \end{cases}$$

记 $W_N = e^{-\frac{2\pi i}{N}}$, 则

$$W_N^2 = e^{-\frac{2\pi i}{m}} = W_m, \quad W_N^m = e^{-\frac{2\pi i}{N}} = -1, \quad W_N^{2m} = W_N^N = 1,$$

而

$$\begin{aligned} e^{-2\pi i \frac{n_1}{N}} &= (W_N)^{n_1} = (W_N)^{(2n_1 + n_0)(mj_1 + j_0)} \\ &= (W_N)^{2mn_1j_1} (W_N)^{mn_0j_1} (W_N)^{2n_1j_0} (W_N)^{n_0j_0} = (-1)^{n_0j_1} \cdot (W_m)^{n_1j_0} \cdot (W_N)^{n_0j_0}. \end{aligned}$$

将上式代入离散 Fourier 变换公式, 并记 $X(j)$ 为 $X(j_1, j_0)$,

$$\begin{aligned} X(j) &= X(j_1, j_0) = \sum_{n=0}^{N-1} x(n) e^{-2\pi i \frac{n_1}{N}} \\ &= \sum_{n_1=0}^{m-1} \sum_{n_0=0}^1 x(2n_1 + n_0) (-1)^{n_0j_1} \cdot (W_m)^{n_1j_0} \cdot (W_N)^{n_0j_0} \\ &= \sum_{n_0=0}^1 (-1)^{n_0j_1} \left[(W_N)^{n_0j_0} \sum_{n_1=0}^{m-1} x(2n_1 + n_0) (W_m)^{n_1j_0} \right], \end{aligned}$$

将方括号中的部分记为 $z(n_0, j_0)$, 则计算 $X(j)$ ($j = 0, 1, 2, \dots, N-1$) 可分解为两个步骤进行:

$$\begin{cases} z(n_0, j_0) = (W_N)^{n_0j_0} \sum_{n_1=0}^{m-1} x(2n_1 + n_0) (W_m)^{n_1j_0}, \quad n_0 = 0, 1; j_0 = 0, 1, \dots, m-1, \\ X(j_1, j_0) = \sum_{n_0=0}^1 (-1)^{n_0j_1} \cdot z(n_0, j_0), \quad j_1 = 0, 1; j_0 = 0, 1, \dots, m-1. \end{cases}$$

实际处理数据时, 因子 $(W_m)^{n_1j_0}$ 和 $(W_N)^{n_0j_0}$ 都是事先算好存储在计算机内的。因此, 在第一式中, 每一个 $z(n_0, j_0)$ 需要进行 m 次复数乘法和 $m-1$ 次复数加法, 第二式中, 每一个 $X(j_1, j_0)$ 只需要做 $m-1$ 次复数加法而不需要做复数乘法, 所以总共需要做 mN 次复数乘法和 $2(m-1)N$ 次复数加法。

若 $N = 2^k$, 则 $m = 2^{k-1}$ 仍是偶数, 因此可对第一式中的

$$\sum_{n_1=0}^{m-1} x(2n_1 + n_0) (W_m)^{n_1j_0}$$

继续进行上述处理, 以进一步减少计算量。这样一种反复递减, 直到 $m = 2$ 为止的过程称为以 2 为底的快速 Fourier 变换(附带说明, 任何一个大于 1 的自然数都可以作为快速 Fourier 变换的底, 在同一个计算过程中还可以混合使用多个底数, 参见习题。)

容易推导出, 对 $N = 2^k$, 执行一个以 2 为底的完整的 FFT, 只需要进行 $\frac{kN}{2} = \frac{1}{2} N \log_2 N$ 次复数乘法和 $kN = N \log_2 N$ 次复数加法。由于

$$\frac{\log_2 N}{N} \rightarrow 0, \quad N \rightarrow \infty,$$

因此它比原来需要 N^2 次运算的直接算法在数量级上有了重大改进,节省的工作量相当惊人,比如,对 $N = 2^{10} = 1024$ (对于实际问题来讲,这仅是一个很小的数字),原算法的复数乘法次数就超过 FFT 的 200 倍!

FFT 还为离散 Fourier 变换开拓出了许多新的用途,计算数列的卷积就是一个典型的例子。

设 $\{x(k)\}_{k=0}^{N-1}$ 和 $\{y(k)\}_{k=0}^{N-1}$ 都是实的或复的数列,定义它们的卷积为

$$x(k) * y(k) \stackrel{\text{def}}{=} \sum_{j=0}^{N-1} x(j)y(k-j) = z(k), \quad k = 0, 1, \dots, N-1,$$

(当序号不属 0 到 $N-1$ 范围时,规定 $x(k \pm N) = x(k)$ 和 $y(k \pm N) = y(k)$ 。),这与上一节中定义的函数的卷积是很相像的。

显然,若直接按上式计算,要得到 $\{z(k)\}_{k=0}^{N-1}$ 总共约需做 $2N^2$ 次运算,其中加法和乘法基本上各占一半。这与用直接方法做一次离散 Fourier 变换的计算量是相同的,并非是一种有效的方法。

考虑到函数的卷积与 Fourier 变换的关系,可以猜想,数列的卷积可能与离散 Fourier 变换会有类似的关系。若果真是这样,那么 FFT 就可以在其中找到用武之地。

设 $\{x(k)\}$ 和 $\{y(k)\}$ 的离散 Fourier 变换分别为 $\{X(j)\}_{j=0}^{N-1}$ 和 $\{Y(j)\}_{j=0}^{N-1}$,即

$$X(j) = \sum_{n=0}^{N-1} x(n)(W_N)^{nj}, \quad Y(j) = \sum_{m=0}^{N-1} y(m)(W_N)^{mj},$$

则它们对应项的相乘为

$$X(j)Y(j) = \sum_{n=0}^{N-1} \sum_{m=0}^{N-1} x(n)y(m)(W_N)^{(n+m)j},$$

利用

$$\frac{1}{N} \sum_{n=0}^{N-1} (W_N)^{nj} (W_N)^{-nk} = \delta_{j,k},$$

于是,数列 $\{X(j)Y(j)\}_{j=0}^{N-1}$ 的离散 Fourier 逆变换为

$$\begin{aligned} \frac{1}{N} \sum_{j=0}^{N-1} X(j)Y(j)e^{2\pi i \frac{jk}{N}} &= \frac{1}{N} \sum_{j=0}^{N-1} \left[\sum_{n=0}^{N-1} \sum_{m=0}^{N-1} x(n)y(m)(W_N)^{(m+n)j} \right] (W_N)^{-kj} \\ &= \sum_{n=0}^{N-1} \sum_{m=0}^{N-1} x(n)y(m) \left[\frac{1}{N} \sum_{j=0}^{N-1} (W_N)^{(m+n)j} (W_N)^{-kj} \right] \\ &= \sum_{n=0}^{N-1} \sum_{m=0}^{N-1} x(n)y(m) \delta_{m+n, k} = \sum_{n=0}^{N-1} x(n)y(k-n) = z(k). \end{aligned}$$

这就是说,两个数列卷积的离散 Fourier 变换,等于由这两个数列分别的离散 Fourier 变换的对应项乘积构成的数列,请读者与定理 16.4.2 的结论加以比较。

于是,计算 $\{x(k)\}$ 和 $\{y(k)\}$ 的卷积 $\{z(k)\}$ 的过程可以分成三步:

- (1) 分别做 $\{x(k)\}$ 和 $\{y(k)\}$ 的离散 Fourier 变换 $\{X(j)\}$ 和 $\{Y(j)\}$;
- (2) 求 $X(j)Y(j), j = 0, 1, \dots, N-1$;
- (3) 做 $\{X(j)Y(j)\}$ 的离散 Fourier 逆变换,得到 $\{z(k)\}$ 。

上述过程需要两次离散 Fourier 变换和一次离散 Fourier 逆变换(步骤(2)中的乘法计算量可以忽略不计),若用直接计算的方法做变换,总计算量将达到直接求卷积时的三倍,无疑是大大地划不来。因此尽管这个结果早就为人所知,但在 FFT 问世之前,就实际问题计算而

言,从来就是无人问津的。

有了 FFT 之后情况立即改观。因(1)和(3)用 FFT 做,总共只需 $4.5N\log_2 N$ 次运算,其中仅三分之一为乘法,而(2)只需 $2N$ 次运算,所以虽说是绕了一个圈子,计算量反倒大为减少,并且,当 N 很大时,减少的数目是相当可观的。

由 FFT 方法出发,产生了很大一类基于卷积计算的快速算法。比如,要计算两个 n 次多项式 $p_n(x) = \sum_{k=0}^n a_k x^k$ 和 $q_n(x) = \sum_{k=0}^n b_k x^k$ 的乘积

$$r_{2n}(x) = p_n(x)q_n(x) = \sum_{k=0}^{2n} c_k x^k$$

(次数不一样时,可将高次幂的系数视为 0),直接求系数

$$c_k = \sum_{j=0}^k a_j b_{k-j}, \quad k = 0, 1, \dots, 2n,$$

将是事倍功半的。若观察到 c_k 的形式与卷积非常相像,进而令数列 $\{A(k)\}$ 和 $\{B(k)\}$ 分别为

$$A(k) = \begin{cases} a_k, & 0 \leq k \leq n, \\ 0, & n < k \leq 2n, \end{cases} \quad B(k) = \begin{cases} b_k, & 0 \leq k \leq n, \\ 0, & n < k \leq 2n, \end{cases}$$

则不难验证 $\{c_k\}$ 正是 $\{A(k)\}$ 和 $\{B(k)\}$ 的卷积,于是前面关于卷积的高效的计算方案可以毫不走样地全部照搬——这就是求多项式乘积的快速算法。

求两个级数的 Cauchy 乘积的处理是类似的,某些类型的矩阵乘法也可以从卷积入手导出快速算法,这里不再一一介绍了。

习 题

1. 说明离散 Fourier 变换 $X(j) = \sum_{n=0}^{N-1} x(n) e^{-2\pi i \frac{nj}{N}}$ 可以看成 Fourier 变换
- $$\hat{f}(\omega) = \int_{-\infty}^{+\infty} f(x) e^{-i\omega x} dx$$

的离散近似形式的推广。

2. 证明正交关系式

$$\frac{1}{N} \sum_{n=0}^{N-1} e^{-2\pi i \frac{nj}{N}} e^{2\pi i \frac{nk}{N}} = \delta_{j,k}.$$

3. 设 $N = pq$ ($p, q \in \mathbb{N}$),构造只需 $O((p+q)N)$ 次运算的 Fourier 变换算法。
4. 对 $N = 2^3$,具体写出以 2 为底的 FFT 的计算流程。

计算实习题

(在教师的指导下,编制程序在电子计算机上实际计算)

1. 利用现成的数学通用软件(如 MATLAB、Mathematica、Maple 等),对于 $N = 32, 64, 128$,